

Рис. 1. Запись излучения рентгеновского пульсара Кентавр X-3, полученная со спутника «Ухуру» 7 мая 1971. По вертикальной оси — число отсчетов за временной интервал 1 бин = 0,096 с, по горизонтальной — время в бинах. Регистрируемый поток максимальен, когда источник находится в центре поля зрения счетчика, ограниченного коллиматором. Из-за вращения спутника регистрируемый средний поток сначала нарастает, а затем спадает. На эту простую зависимость от времени наложены периодические пульсации, связанные с собственной переменностью источника.

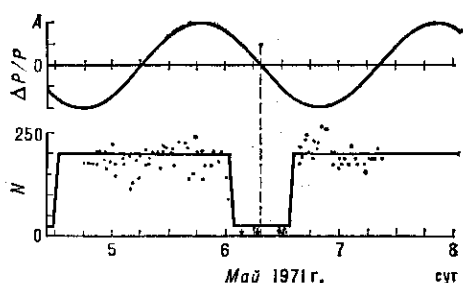


Рис. 2. Долгопериодическая переменность рентгеновского излучения источника Кентавр X-3 (нижний график,  $N$  — число отсчетов,  $\text{с}^{-1}$ ). Видны характерные рентгеновские затмения. На верхнем графике приведены изменения периода  $P$ , доказывающие движение пульсара вокруг центра масс двойной системы ( $A \approx 1,387 \cdot 10^{-8}$ ).

X-3 — третий по яркости в созвездии Кентавра. Р. п. в Малом Магеллановом Облаке обозначается как SMC X-1, в Большом Магеллановом Облаке — LMC X-4 [часто встречающаяся в обозначениях рентг. источников буква X — от англ. X-rays (рентг. лучи)]. Обнаружение со спутников большого числа рентг. источников потребовало др. системы обозначений. Напр., 4U 1900-40 соответствует обозначению Р. п. Паруса X-1 в четвёртом каталоге спутника «Ухуру» (США). Первые четыре цифры обозначают прямое восхождение (19 ч 00 мин), вторые две вместе со знаком дают склонение объекта (см. Координаты астрономические). Аналогичный смысл имеют цифры в обозначении источников, открытых спутником «Ариэль» (Великобритания), напр. A0535 + 26. Обозначения типа GX1-4 относятся к источникам в центр. области Галактики. Цифры соответствуют галактическим координатам  $l$  и  $b$  (в данном случае  $l = 1^\circ$ ,  $b = +4^\circ$ ). Употребляются и др. обозначения. Так, открытый с борта советских АМС «Венера-11, -12» в эксперименте «Конус» вспыхивающий Р. п. с периодом около 8 секунд получил наименование FX P0520-66.

**Переменность излучения рентгеновских пульсаров.** Короткопериодич. переменность рентг. излучения Р. п. иллюстрирует рис. 1, на к-ром приведена запись излучения одного из первых открытых Р. п.— Кентавра X-3 (май 1971, спутник «Ухуру»). Период следования импульсов  $P = 4,8$  с.

На рис. 2 показана долгопериодич. переменность Р. п. Кентавр X-3. Раз в двое суток Р. п. периодически «исчезает» (затмевается) на 11 ч (ниж. график). Тщательные исследования показали также, что  $P$  зависит

от фазы двухдневного периода  $T = 2,087$  сут по гармонич. закону (верх. график):  $\Delta P/P = A \cos[2\pi(t - t_0)/T]$ , где  $\Delta P = P - P_0$  — изменение  $P$ ,  $P_0$  — невозмущённое значение  $P$ ,  $A$  — амплитуда относит. изменения  $P$ ,  $t_0$  соответствует одному из моментов, когда отклонение периода максимально. Эти два факта интерпретируются однозначно: Р. п. входит в двойную систему с орбитальным периодом, равным  $T$ . «Исчезновения» объясняются затмениями Р. п. вторым компонентом двойной системы. По продолжительности затмения можно сделать вывод о том, что второй (затмевающий) компонент заполняет свою полость Роша. Периодич. изменения  $P$  обусловлены эффектом Доплера при орбитальном движении Р. п. вокруг центра масс двойной системы. Амплитуда изменения периода  $A = (v/c)\sin i$ , где  $i$  — угол наклонения орбиты двойной системы (в этой системе близок к  $90^\circ$ ),  $v$  — скорость орбитального движения Р. п.;

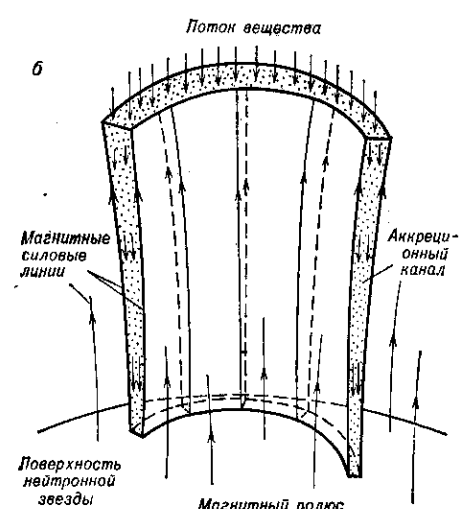
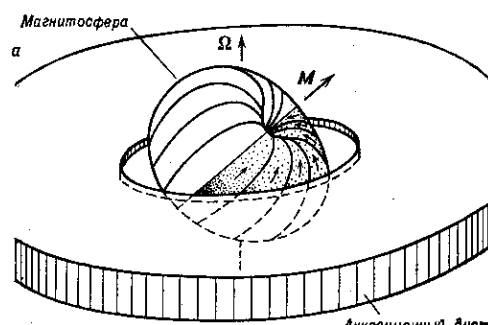


Рис. 3. Упрощенная картина акреции на замагнитченную нейтронную звезду в двойной системе. Газ поступает к звезде как в геометрически тонком диске, так и сферически-симметричным образом. Реальная магнитосфера имеет более сложную форму, чем это изображено на рис. а ( $\Omega$  и  $M$  — угловая скорость вращения и магнитный момент нейтронной звезды). Условия вмешивания плазмы в магнитосферу благоприятны не на всей её поверхности. Вмороженная плазма течёт вдоль магнитных силовых линий к магнитным полюсам (стрелки). Вблизи полюсов акреционный канал представляет собой незамкнутый венец (б).